

# КАК УВИДЕТЬ АТОМНОЕ СТРОЕНИЕ КРИСТАЛЛА БЕЗ МИКРОСКОПА ВЫСОКОГО РАЗРЕШЕНИЯ

*В.Л.Инденбом, С.Б.Точилин\**

*Институт кристаллографии Академии наук  
Москва, Россия*

*\*Оксфордский университет  
Оксфорд, Англия*

Поступила в редакцию 29 июня 1995 г.

Метод электронной микроскопии высокого разрешения (ЭМВР) широко используется в последние годы для изучения атомного строения кристаллических материалов и дефектов кристаллической решетки. Возможности ЭМВР ограничиваются сферической аберрацией, в результате чего даже лучшие микроскопы имеют разрешение не лучше 1–2 Å, то есть намного больше длины волны электронов, которая для характерных значений ускоряющего напряжения 0,1–1,0 МэВ достигает соответственно 0,038 и 0,012 Å. Разрешение может быть повышенено на полтора порядка, если вместо ЭМВР использовать динамические электронограммы и исследовать не только координаты рефлексов, но и закон убывания средней интенсивности рефлексов вдоль радиуса электронограммы (в первую очередь ширину электронограммы, определяющую ширину пиков блоховских волн на выходной поверхности просвечиваемой фольги). В качестве примера указывается разрешение порядка 0,10 Å для золота, просвечиваемого вдоль <111>.

В случае динамической дифракции электронов наибольшее влияние на характер волнового поля  $\psi(x, y)$  электронов на выходной поверхности фольги оказывает эффект канализования электронов вдоль атомных цепочек, параллельных направлению просвечивания [1]. Волновое поле  $\psi(x, y)$  обычно состоит из слабо перекрывающихся блоховских волн  $1S$  типа, канализирующих вдоль атомных цепочек, параллельных направлению просвечивания, и локализованных на этих цепочках с точностью  $\rho = 2\hbar^2/mZe^2$ , где  $m$  – релятивистская масса электрона,  $e$  – его заряд,  $Z$  – атомный номер атомов или ионов, составляющих цепочку [2–4].

Свободное распространение этого волнового поля

$$\psi(x, y) = \sum_{m,n} \psi_{1S}(x - ma, y - nb) \quad (1)$$

в вакууме дает динамическую электронограмму

$$\tilde{\psi}(k_x, k_y) = \sum_{m,n} \tilde{\psi}_{1S}(k_x - ma^*, k_y - nb^*) \quad (2)$$

(фазы всех цепочек, в том числе сдвинутых по оси  $z$ , одинаковы, ибо возбуждается только нулевая лауз-зона, и потенциал решетки усреднен вдоль направления канализования). В (1), (2)  $a$  и  $b$  – параметры,  $ma$  и  $nb$  – векторы трансляции сетки цепочек в плоскости  $(x, y)$ ;  $a^*$  и  $b^*$  – параметры,  $ma^*$  и  $nb^*$  – векторы обратной решетки;  $\tilde{\psi}_{1S}(k_x, k_y)$  – трансформанта фурье-функции Блоха  $\psi_{1S}$ .

В приближении экранированного кулоновского потенциала блоховские волны  $\psi_{1S}$  для отдельных атомных цепочек имеют вид [2, 4] (нормирующий множитель

опущен)

$$\psi_{1S}(r) = \exp(-2r/\rho), \quad (3)$$

где  $r = \sqrt{x^2 + y^2}$  – расстояние от атомной цепочки,

$$\rho = (\hbar^2 d)/mZe^2 a_{TF}; \quad (4)$$

здесь  $d$  – расстояние между атомами в цепочке,  $a_{TF}$  – радиус экранирования Томаса–Ферми:

$$a_{TF} = 0,885\hbar^2/m_0e^2 Z^{1/3}, \quad (5)$$

$m_0$  – масса покоя электрона. Следует заметить, что параметр  $\rho$  описывает все характеристики решетки и условия облучения, включая ускоряющее напряжение  $U = (m - m_0)c^2/e$ .

Приближение экранированного кулоновского потенциала было развито применительно к эффекту канализации электронов высоких энергий [5], когда возникает много связанных (канализирующих) блоховских волн. Можно показать, однако, что это приближение справедливо в условиях электронографии и электронной микроскопии высокого разрешения, когда возникают одна и (лишь для тяжелых цепочек) две связанные блоховские волны.

Согласно [4], число  $N$  связанных блоховских состояний с отрицательной энергией поперечного движения электронов  $E_\perp$  можно оценить, сшивая блоховские волны на полути между соседними цепочками. Это условие дает

$$(2N - 1)^2 \leq d_\perp/\rho, \quad (6)$$

где  $d_\perp$  – расстояние между соседними цепочками. Оценка (6), точно учитывая форму потенциальной ямы в уравнении Шредингера, выгодно отличается в этом отношении от известной оценки Фуджимото и др. [1], основанной на рассмотрении прямоугольной потенциальной ямы. Из (6) следует, что имеется только одна канализующая блоховская волна  $1S$ , если  $d_\perp \geq 9\rho$ ; только две канализующие блоховские волны  $1S$  и  $2S$ , если  $d_\perp \geq 25\rho$ , и только три канализующие блоховские волны  $1S$ ,  $2S$  и  $3S$ , если  $d_\perp \geq 49\rho$ , что невозможно даже для тяжелых атомов. Чаще всего встречается случай  $N \leq 2$ , то есть  $d_\perp \geq 9\rho$ , согласно [4] соответствующий  $-E_\perp \geq (2m)^{-1}[(N - 1/2)\hbar\rho]$ , то есть условию  $-E_\perp \geq (2m)^{-1}(3/2)\hbar\rho$ , или условию на экстинкционную длину  $L_{2S} \geq 16\lambda m E / 3\hbar\rho$ , где  $\lambda$  – длина волны электронов. Поэтому мы ограничимся рассмотрением случая  $N = 1$ , когда возбуждается только одна связанный (канализующая) блоховская волна типа  $1S$ .

Использованные выше оценки были основаны на приближении экранированного кулоновского потенциала, позволившем нам описать блоховские волны в аналитической форме без всяких численных расчетов. На рис.1 в качестве иллюстрации рассмотрен случай блоховской волны  $1S$  в золоте. По Вергасову [6], такая волна (несмотря на высокую поперечную энергию  $E_\perp = -169$  эВ) должна иметь полуширину порядка 0,4 Å и заметно перекрываться с волнами, центрированными на соседних цепочках. Из рис.1 следует, однако, что ничего подобного на самом деле не происходит: по мере того как при расчете динамической матрицы ее ранг повышается и привлекается все большее число плоских и блоховских волн, вырисовывается истинная форма волны  $1S$ , совпадающая с указанной выше простой формулой (3). Полуширина  $\psi_{1S}$  оказывается равной 0,10 Å.

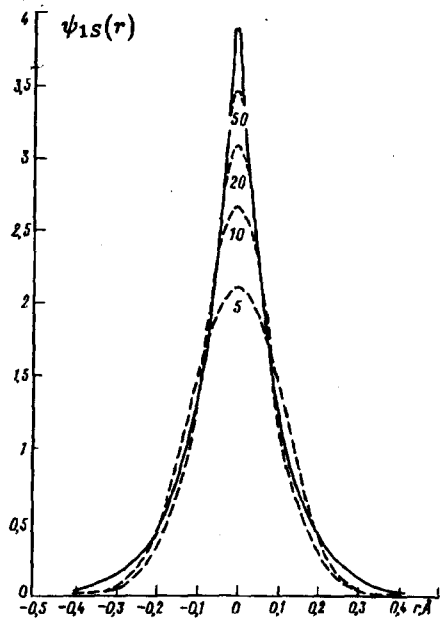


Рис.1

Рис.1. Блоховская волна  $1S$  в золоте, 400 кэВ, просвечивание вдоль  $<111>$ . Сплошная линия – 2527 плоских волн в матричном расчете – практически точно соответствует приближению (3). Пунктирные кривые – результаты приближенных матричных расчетов. Цифры на кривых указывают ранг матрицы. Пояснения в тексте. Рассмотренный Вергасовым [6] случай просвечивания золота вдоль  $<001>$  соответствует 81 плоской волне при ранге матрицы всего 14

Рис.2. Золото, 100 кэВ, просвечивание вдоль  $<001>$ . Параметр  $\rho \approx 0,25 \text{ \AA}$ . Хорошо видно небольшое перекрытие цепочечных  $1S$  волн (3). Для построения единой  $1S$  волны требуется подсчет интегралов перекрытия и использование вместо (1) теории сильной связи

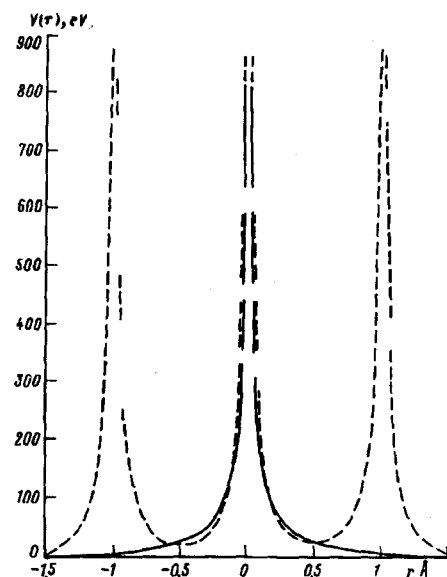


Рис.2

Удостоверившись в справедливости принятого нами приближения, заметим, что в этом приближении волны  $1S$  настолько узки, что, будучи центрированными на соседних цепочках, практически не перекрываются (см. в качестве иллюстрации рис.2), и волновое поле на выходной поверхности фольги действительно может быть представлено в виде (1) без учета интегралов перекрытия, а динамическая электронограмма – в виде (2).

Чтобы рассчитать фигурирующий в (2) фурье-образ волны  $\psi_{1S}$ , учтем, что

$$\tilde{\psi}_S(k) = 2\pi \int_0^\infty r dr J_0(kr) e^{-2r/\rho} = \frac{4\pi\rho^2}{(4 + k^2\rho^2)^{3/2}}, \quad (7)$$

где  $k^2 = k_x^2 + k_y^2$ .

Теперь, подвергнув фурье-преобразованию<sup>1)</sup> распределение интенсивности  $|\tilde{\psi}(k_x, k_y)|$  на электронограмме, а не волновое поле  $\psi(k_x, k_y)$ , мы можем построить функцию Паттерсона. В узлах решетки, описываемой функцией

<sup>1)</sup>Это фурье-преобразование дифрактограммы можно получить дифракцией лазерного пучка на дифрактограмме и визуализовать функцию Паттерсона с ее пучностями  $\varphi(r)$ , имитирующими атомы кристаллической решетки.

Паттерсона, возникнут пучности  $\varphi(r)$ , где радиус-вектор  $r$  отсчитывается от узла регулярной паттерсоновской решетки,

$$\varphi(r) = (2\pi)^{-1} \int_0^\infty k dk J_0(kr) |\tilde{\psi}_{1S}|^2 = \frac{\pi}{4} r^2 K_2 \left( \frac{2r}{\rho} \right), \quad (8)$$

откуда для полуширины  $\varphi(r)$  получаем оценку:  $2^{2/3} \pi^{-1/3} \rho$ , то есть  $0,27 \text{ \AA}$  в случае золота, что соответствует полуширине пиков интенсивности на карте функции Паттерсона  $\varphi^2(r)$  порядка  $0,135 \text{ \AA}$ , что в 15 раз лучше разрешения в хороших ( $2 \text{ \AA}$ ) микроскопах и примерно в 40 раз лучше разрешения в обычных ( $5 \text{ \AA}$ ) микроскопах высокого разрешения, не говоря уже о том, что микроскопы высокого разрешения недоступны большинству экспериментаторов.

Заметим, однако, что речь идет о разрешении атомов в правильной кристаллической решетке. Вопрос о разрешении дефектов решетки (см., например, [2]) требует дополнительного исследования. Здесь потребуется отличить истинные максимумы и ложные "духи" в функции Паттерсона.

- 
1. F.Fujimoto, S.Takagi, K.Komaki et al., Rad. Effects **12**, 153 (1972).
  2. В.Л.Инденбом, С.Б.Точилин, Кристаллография **32**, 586 (1987).
  3. В.Л.Инденбом, С.Б.Точилин, Кристаллография **32**, 1353 (1987).
  4. В.Л.Инденбом, С.Б.Точилин, ЖЭТФ **98**, 1402 (1990).
  5. С.А.Воробьев, *Прохождение бета-частиц через кристаллы*, М.: Атомиздат, 1975.
  6. V.L.Vergasov, In: *Electron diffraction possibilities and limitations. Abstracts of the 31 st Course (Autumn School, Halle) Saale. Okt. 1990.*